


# FTR - Flight Test Report

Dieser Prüfbericht darf ohne schriftliche Zustimmung der EAPR nicht, auch nicht auszugsweise, veröffentlicht werden.

Costruttore	 Skyman - Fly Market GmbH & Co.KG Am Schönebach 3 D-87637 Eisenberg	N° test	EAPR-GS-0624/17
		numero di serie	
Modello	Sir Edmund 23	Luogo	Stubaital, 11er
Commento			Achensee, Rofan



Rev. 2.3 - 26.11.2014  
 EAPR GmbH - Marktstr. 11  
 D-87730 Bad Grönenbach - Germany

Data del test	17.03.2017	Peso minimo al decollo 90 kg	Peso massimo al decollo 125 kg
Test pilot	Pascal Purin		Anselm Rauh
Selletta	EAPR Equipment		EAPR Equipment
Peso totale al decollo	90 kg		125 kg

Classificazione	<b>B</b>
-----------------	----------



Criteri del test	Peso minimo al decollo	Valutazione	Peso massimo al decollo	Valutazione
<b>1. Gonfiaggio/decollo - 4.4.1</b>				
Comportamento nel gonfiaggio	Gonfiaggio dolce, facile e progressivo	A	Gonfiaggio dolce, facile e progressivo	A
Tecnica specifica richiesta per il decollo	No	A	No	A
<b>2. Atterraggio - 4.4.2</b>				
Tecnica specifica richiesta per l'atterraggio	No	A	No	A
<b>3. Velocità nel volo rettilineo - 4.4.3</b>				
Velocità di trim superiore a 30 km/h	Si	A	Si	A
Velocità a freni completamente abbassati superiore a 10 km/h	Si	A	Si	A
Velocità minima	inferiore a 25 km/h	A	inferiore a 25 km/h	A
<b>4. Controllo del punto di stallo dichiarato dal costruttore - 4.4.4</b>				
Peso massimo in volo fino a 80 kg		-		-
Peso massimo in volo da 80 kg a 100 kg		-		-
Peso massimo in volo superiore a 100 kg	Crescente >65 cm	A	Crescente >65 cm	A
<b>5. Stabilità sull'asse di beccheggio in uscita dal volo accelerato - 4.4.5</b>				
Angolo di picchiata in uscita	Picchiata inferiore a 30°	A	Picchiata inferiore a 30°	A
Consequente chiusura	No	A	No	A
<b>6. Stabilità sull'asse di beccheggio agendo sui comandi nel volo accelerato - 4.4.6</b>				
Consequente chiusura	No	A	No	A
<b>7. Stabilità sull'asse di rollio e smorzamento - 4.4.7</b>				
Oscillazioni	Si autostabilizza	A	Si autostabilizza	A
<b>8. Stabilità in spirale neutra - 4.4.8</b>				
Tendenza a riprendere il normale assetto di volo	Uscita spontanea	A	Uscita spontanea	A
<b>9. Behaviour exiting a fully developed spiral dive - 4.4.9</b>				
Initial response of glider (first 180°)	Immediate reduction of rate in turn	A	Immediate reduction of rate in turn	A
Tendenza a riprendere il normale assetto di volo	Uscita spontanea	A	Uscita spontanea	A
Angolo di rotazione per ritrovare il normale assetto di volo	Inferiore a 720°, uscita spontanea	A	Inferiore a 720°, uscita spontanea	A
<b>10. Chiusura frontale simmetrica - 4.4.10</b>				
Folding lines used	No		No	
Ingresso	Arretra meno di 45°	A	Arretra meno di 45°	A
Uscita	Spontaneo in meno di 3 sec.	A	Spontaneo in meno di 3 sec.	A
Angolo di picchiata in uscita	0° - 30°   Mantiene la traiettoria di volo	A	0° - 30°   Mantiene la traiettoria di volo	A
Consequente cascata di configurazioni	No	A	No	A
Ingresso	Arretra meno di 45°	A	Arretra meno di 45°	A
Uscita	Spontaneo in meno di 3 sec.	A	Spontaneo in meno di 3 sec.	A
Angolo di picchiata in uscita	0° - 30°   Mantiene la traiettoria di volo	A	0° - 30°   Mantiene la traiettoria di volo	A
Consequente cascata di configurazioni	No	A	No	A
Ingresso	Arretra meno di 45°	A	Arretra meno di 45°	A
Uscita	Spontaneo in meno di 3 sec.	A	Spontaneo in meno di 3 sec.	A
Angolo di picchiata in uscita	0° - 30°   Rotazione inferiore a 90°	A	0° - 30°   Mantiene la traiettoria di volo	A
Consequente cascata di configurazioni	No	A	No	A
<b>11. Uscita dallo stallo paracadutale - 4.4.11</b>				
Fase paracadutale raggiungibile	Si		Si	
Uscita	Spontaneo in meno di 3 sec.	A	Spontaneo in meno di 3 sec.	A
Angolo di picchiata in uscita	30° - 60°	B	30° - 60°	B
Cambio di direzione	Cambio di direzione inferiore a 45°	A	Cambio di direzione inferiore a 45°	A
Consequente cascata di configurazioni	No	A	No	A

12. Uscita da uno stallo di B rilasciato molto lentamente - 4.4.12							
Uscita	Spontaneo in meno di 3 sec.			A	Spontaneo in meno di 3 sec.		A
Conseguente cascata di configurazioni	No			A	No		A
13. Uscita da uno stallo simmetrico trattenuto (post stallo) - 4.4.13							
Angolo di picchiata in uscita	30° - 60°			B	30° - 60°		B
Chiusura	Senza conseguente chiusura			A	Senza conseguente chiusura		A
Conseguente cascata di configurazioni	No			A	No		A
Oscilla indietro	Inferiore a 45°			A	Inferiore a 45°		A
Tensione delle linee	Tensione della maggior parte delle linee			A	Tensione della maggior parte delle linee		A
14. Chiusura asimmetrica - 4.4.14							
Folding lines used	No				No		
Cambio di direzione prima della riapertura	Senza acceleratore, max. chiusura 50%	< 90°	Angolo di picchiata o di rollio compreso entro 0° - 15°	A	< 90°	Angolo di picchiata o di rollio compreso entro 0° - 15°	A
		Riapertura spontanea			A	Riapertura spontanea	
Comportamento nella riapertura		Inferiore a 360°			Inferiore a 360°		A
Variazione totale della direzione		No			No		A
Conseguente chiusura della semiala opposta		No			No		A
Conseguente twist		No			No		A
Conseguente cascata di configurazioni		No			No		A
Cambio di direzione prima della riapertura	Senza acceleratore, max. chiusura 75%	< 90°	Angolo di picchiata o di rollio compreso entro 15° - 45°	A	< 90°	Angolo di picchiata o di rollio compreso entro 0° - 15°	A
		Riapertura spontanea			A	Riapertura spontanea	
Comportamento nella riapertura		Inferiore a 360°			Inferiore a 360°		A
Variazione totale della direzione		No			No		A
Conseguente chiusura della semiala opposta		No			No		A
Conseguente twist		No			No		A
Conseguente cascata di configurazioni		No			No		A
Cambio di direzione prima della riapertura	Con acceleratore, max. chiusura 50%	< 90°	Angolo di picchiata o di rollio compreso entro 15° - 45°	A	< 90°	Angolo di picchiata o di rollio compreso entro 0° - 15°	A
		Riapertura spontanea			A	Riapertura spontanea	
Comportamento nella riapertura		Inferiore a 360°			Inferiore a 360°		A
Variazione totale della direzione		No			No		A
Conseguente chiusura della semiala opposta		No			No		A
Conseguente twist		No			No		A
Conseguente cascata di configurazioni		No			No		A
Cambio di direzione prima della riapertura	Con acceleratore, max. chiusura 75%	< 90°	Angolo di picchiata o di rollio compreso entro 15° - 45°	A	< 90°	Angolo di picchiata o di rollio compreso entro 0° - 15°	A
		Riapertura spontanea			A	Riapertura spontanea	
Comportamento nella riapertura		Inferiore a 360°			Inferiore a 360°		A
Variazione totale della direzione		No			No		A
Conseguente chiusura della semiala opposta		No			No		A
Conseguente twist		No			No		A
Conseguente cascata di configurazioni		No			No		A
15. Cambio di direzione in seguito a una chiusura asimmetrica trattenuta - 4.4.15							
Capacità a mantenere il volo rettilineo	Si			A	Si		A
Rotazione di 180° in 10 sec. dalla parte opposta alla chiusura	Si			A	Si		A
Differenza di trazione del comando fra la virata, lo stallo e la vite piatta negativa	Trazione simmetrica dei freni superiore al 50%			A	Trazione simmetrica dei freni superiore al 50%		A
16. Tendenza al negativo a velocità di trim - 4.4.16							
Conseguente vite piatta negativa	No			A	No		A
17. Tendenza al negativo alle basse velocità - 4.4.17							
Conseguente vite piatta negativa	No			A	No		A
18. Uscita da una vite piatta negativa - 4.4.18							
Angolo di rotazione in vite piatta negativa dopo il rilascio del comando	Esce dalla spirale in meno di 90°			A	Esce dalla spirale in meno di 90°		A
Conseguente cascata di configurazioni	No			A	No		A
19. Stallo di B - 4.4.19							
Cambiamento di direzione dopo il rilascio	Cambio di direzione inferiore a 45°			A	Cambio di direzione inferiore a 45°		A
Comportamento prima del rilascio	Mantiene la stabilità senza alcuna deformazione del profilo			A	Mantiene la stabilità senza alcuna deformazione del profilo		A
Uscita	Spontaneo in meno di 3 sec.			A	Spontaneo in meno di 3 sec.		A
Angolo di picchiata in uscita	0° - 30°			A	0° - 30°		A
Conseguente cascata di configurazioni	No			A	No		A
20. Grandi orecchie - 4.4.20							
Procedura d'ingresso	Tecnica standard			A	Sistemi di controllo dedicati		A
Comportamento durante le grandi orecchie	Volo stabile			A	Volo stabile		A
Uscita	Spontaneo in meno di 3 sec.			A	Spontaneo in meno di 3 sec.		A
Angolo di picchiata in uscita	0° - 30°			A	0° bis 30°		A
21. Grandi orecchie con acceleratore - 4.4.21							
Procedura d'ingresso	Tecnica standard			A	Sistemi di controllo dedicati		A
Comportamento durante le grandi orecchie	Volo stabile			A	Volo stabile		A
Uscita	Spontaneo in meno di 3 sec.			A	Spontaneo in meno di 3 sec.		A
Angolo di picchiata in uscita	0° - 30°			A	0° bis 30°		A
Comportamento durante le grandi orecchie trattenute dopo il rilascio dell'acceleratore	Volo stabile			A	Volo stabile		A
23. Tecniche alternative di pilotaggio - 4.4.22							
Virata di 180° possibile in 20 sec.	Si			A	Si		A
Conseguente vite piatta negativa o stallo	No			A	No		A
23. Altre procedure e/o configurazioni di volo descritte nel manuale d'uso - 4.4.23							
Esecuzione corretta della manovra / manuale				NA			NA
Manovra adatta per i piloti principianti				NA			NA
Conseguente cascata di configurazioni				NA			NA
24. Osservazioni del test pilot							